دراسة مقارنة بين نموذج الانحدار ونموذج بوكس جينكز ونماذج الشبكات العصبية لإنتاج التمور في العراق

م. ماثل كامل ثامر
 كلية الإدارة والاقتصاد
 جامعة الأنبار

mathilthamir@yahoo.com

المستخلص:

ان اسلوب الشبكات العصبية الاصطناعية يعتبر من الوسائل المهمة الجديدة في بناء النماذج والتحليل وتقييم البيانات لا يعتمد نموذج أو طريقة إحصائية شائعة لتشخيص مسبق لسلوك الظاهرة حيث تتم المعالجة للوصول إلى أفضل نموذج يمثل الظاهرة وبأقل حد ممكن من الاخطاء ويمثل بشكل قريب من الواقع ويمكن استخدامه في أغلب المجالات ومن اهداف تحليل السلاسل بناء نموذج لتفسير سلوكها واستخدام النتائج لغرض التنبؤ بسلوك السلسلة في المستقبل.

يهدف البحث الى المقارنة ما بين بعض نماذج الانحدار ونموذج بوكس جينكز ونماذج الشبكات العصبية لاختيار أفضلها لمتغير انتاج التمور في العراق. لقد تم استخدام برامج التحليل الاحصائي SPSS 24 وminitab17 وEviews9 لتحليل بيانات انتاج التمور للفترة من ١٩٦٣ الى ٢٠١٨ وقد برهنت النتائج كفاءة اسلوب الشبكات العصبية في معالجة النماذج الغير خطية وأنها تعتبر من النماذج الحصينة.

الكلمات المفتاحية: انتاج التمور، نموذج الانحدار الخطي، نموذج بوكس جينكيز، نموذج الانحدار الذاتي والاوساط المتحركة، نموذج الشبكة العصبية.

Comparative Study Between Regression Model, Box Jenkins Model and Neural Networks Models for Date Production in Iraq

Lecturer: Mathil Kamil Thamer College of Administration and Economics University of Anbar

Abstract:

The method of artificial neural networks is one of the important new methods in building models, analysis and evaluation of data does not adopt a model or a common statistical method to diagnose the behavior of the phenomenon. Where processing is done to reach the best model represents the phenomenon with the least possible errors and represents close to reality and can be used in most areas one of the aims of chain analysis is to build a model to explain its behavior and use the results to predict future behavior of the chain. The aim of this research is to compare some regression models, the Box Jenkins model and the neural networks models to choose the best for the dates production variable in Iraq. Statistical analysis software (SPSS24, minitab17, Eviews9) were used to analyze date production data for the period 1963 to 2018 and the results proved the efficiency of the neural networks method in the treatment of nonlinear models and it is considered to be a strong model.

Keywords: Dates Production, Linear Regression Model, Box Jenkins model, Model Self-regression and Moving Averages, Neural networks model.

المقدمة

ان السلسلة الزمنية تمثل مجموعة من المشاهدات العشوائية لمتغير عشوائي المنشأ من علاقتها بالزمن وفق القوانين الاحتمالية والاحصائية والرياضية. أما تطبيقياً فأن السلسلة الزمنية عبارة عن مجموعة من المشاهدات الخاصة بظاهرة مدروسة وفق فترات زمنية متتابعة وفي الغالب تكون منتظمة، ان التنبؤ باستخدام السلاسل الزمنية ومنها منهجية بوكس-جينكز يعتبر الإسلوب التقليدي في بناء نماذج التنبؤ وكذلك يتم التنبؤ من خلال بناء الشبكات العصبية حيث تستخدم الشبكات العصبية المتعددة الطبقات لغرض التنبؤ. إن من مميزات الشبكات العصبية في هذه الحالة هو ان الشبكة العصبية يمكنها تمثيل المنظومات اللاخطية فضلا عن امكانيتها على تقليل عدم استقراريه البيانات ومعالجة الضوضاء المرافقة الى بيانات السلسلة الزمنية وكذلك القيم الشاذة في السلوك. وعلى اساس هذا المبدأ تم بناء نماذج السلاسل الزمنية من خلال اسلوب بوكس جينكز وبعض النماذج المرتبطة بها، وتم ايضا بناء نموذج لشبكة عصبية بعدد من الطبقات لمتغير انتاج وبعض النماذج المرتبطة بها، وتم ايضا بناء نموذج لشبكة عصبية بعدد من الطبقات المتغير انتاج المية متزايدة في معالجة وتحليل السلاسل الزمنية نظراً لما تمتاز به من مرونة كبيرة مقارنة الهمية متزايدة في معالجة وتحليل السلاسل الزمنية نظراً لما تمتاز به من مرونة كبيرة مقارنة بالطرائق التقليدية المعروفة والمعتمدة في هذا المجال فضلا عن قدرتها على التعلم والتكيف ذاتياً مع أي نموذج.

مشكلة البحث: ان انتاج التمور في العراق يمثل الدعامة الاساسية للإنتاج الزراعي في العراق ويعتبر التخطيط لها والتنبؤ بكمية الانتاج على الصعيد المحلي او العالمي من الاهمية لهذه الصناعة وذلك لما يحققه من عائد مبني على تحويل منتج زراعي اساسي الى مواد ذات قيمة تجارية وعائد مالي مرتفع لهذا فان مشكلة البحث تنحصر في مدى امكانية بناء نماذج كفؤة تساعد المخطط الاقتصادي في تنمية وتطوير زراعة وصناعة انتاج التمور في العراق وتعظيم العائد المالي منها. أهمية البحث: ان الغرض يتمثل في بناء نماذج متعددة وفق اساليب مختلفة منها نماذج بوكس جينكز ونموذج الشبكات العصبية والمقارنة فيما بينها واختيار أفضلها، ان أي نموذج او سلسلة زمنية خطية كانت او غير خطية سواء كان الخطأ يتبع التوزيع الطبيعي او أي توزيع غير معلوم اخر. فضلا عن اعتماد منهجية حديثة ذات قدرات ذكية للمعالجة وهي الشبكات العصبية وتقديم معيار كمي رقمي الى الادارة العليا لأجل اتخاذ قرار فعال من خلال استخدام النموذج للتخطيط الاقتصادي.

هدف البحث: بناء نماذج السلاسل الزمنية لبيانات انتاج التمور في العراق وفق بيانات الواقع الفعلي ومعرفة سلوكية هذه السلاسل من ناحية مكونات السلسلة الزمنية كالاتجاه العام والموسمية وغيرها من المركبات وفي مختلف الحالات، وهو يمثل الهدف الاساسي مع المقارنة ما بين عدة طرق واساليب التنبؤ ومنها اسلوب الشبكات العصبية.

الجانب النظري: سوف يتم استعراض اهم نماذج التحليل الاحصائي فيما يخص التنبؤ والتي تتضمن نماذج الانحدار الخطي ونماذج بوكس-جينكز وثم نماذج الشبكات العصبية مع امكانية تطبيق احداها على بيانات الدراسة.

ا. نماذج الانحدار الخطي: ان انموذج الانحدار الخطي المتعدد يدرس تأثير مجموعة من المتغيرات المستقلة على المتغير المعتمد ويتم تقدير انموذج الانحدار الخطي المتعدد بطريقة المربعات الصغرى (OLS) لغرض توفيق أفضل معادلة انحدار خطية متعددة المتغيرات مع الاختبارات

الاحصائية المرافقة لها، وان خط الانحدار يهدف الى تصغير مجموع مربعات الانحرافات عن الخط المستقيم الى أدنى حد ممكن، وفق الصيغة الاحصائية الاتية للنموذج: (J. Scott, 2012)، (C.Tofallis, 2009)

$$y_i = \beta_0 + \beta_1 x_{1i} + \beta_2 x_{2i} + \dots + \beta_k x_{ki} + \varepsilon_i$$
 (1)
 $i = 1.2.3.\dots n$

ومنه يمكن ان نحصل على نماذج متعددة منها النموذج الخطى البسيط بالصيغة التالية:

$$y_i = \beta_0 + \beta_1 x_{1i} + \varepsilon_i \dots (2)$$

والنموذج التربيعي من الدرجة الثانية بالصيغة التالية:

$$y_i = \beta_0 + \beta_1 x_{1i} + \beta_2 x_{1i}^2 + \varepsilon_i$$
....(3)

ومن الملاحظ على النماذج الاخيرة انها تتعامل مع متغير توضيحي واحد χ_{1i} منتج منه متغيرات اخرى من خلال اجراء بعض التحويلات، وتعتمد عملية تقدير النموذج على اسلوب المصفوفات و و فق العلاقة التالية:

$$\widehat{\beta} = (x^T x)^{-1} x^T y \dots (4)$$

حيث ان

متجه لمعالم النموذج المقدر بأبعادpx1. x مصفوفة المتغيرات المستقلة عمودها الاول مساوي للواحد وتكون بأبعاد y ، x مصفوفة المتغير المعتمد وتكون بأبعاد n . n .

٢. النموذج المختلط (ARMA(p,q): اما نموذج الانحدار الذاتي والاوساط المتحركة (E.P and Jenkins, et al., 2009) فيوصف بدلالة النماذج السابقة كالاتي: (ARMA(p,q)) فيوصف بدلالة النماذج السابقة كالاتي: (ARMA(p,q)) (ARMA(p,q))

$$\emptyset(L)(y_i) = \theta(L) e_i \dots (5)$$

ان الذي يجمع في سلوكه مواصفات نماذج الانحدار الذاتي والمتوسطات المتحركة ومن النموذج نجد ان $\emptyset(L)$, $\emptyset(L)$ تمثل متعددة الحدود لنموذج الانحدار الذاتي ونموذج المتوسطات المتحركة في معالم النموذج ، يمكن نحصل من النموذج المختلط على نموذج الانحدار الذاتي المتحركة في معالم ان متغير السلسلة الزمنية y_i يعتمد على القيم السابقة للمتغير ويعبر عنه بالصبغة التالية:

 $y_i = \emptyset_0 \ y_{i-1} + \emptyset_1 \ y_{i-2} + \cdots + \emptyset_p \ y_{i-p} + e_i \dots (6)$ $Y_i = \emptyset_0 \ y_{i-1} + \emptyset_1 \ y_{i-2} + \cdots + \emptyset_p \ y_{i-p} + e_i \dots (6)$ $Y_i = \emptyset_0 \ y_{i-1} + \emptyset_1 \ y_{i-2} + \cdots + \emptyset_p \ y_{i-p} + e_i \dots (6)$ $Y_i = \emptyset_0 \ y_{i-1} + \emptyset_1 \ y_{i-2} + \cdots + \emptyset_p \ y_{i-p} + e_i \dots (6)$ $Y_i = \emptyset_0 \ y_{i-p} + e_i \dots ($

بدأت فكرة نشوء الشبكات العصبية الاصطناعية من خلال محاكاة بعض خصائص الشبكات العصبية الاصطناعية القدرة على الشبكات العصبية الاصطناعية القدرة على

تحليل البيانات وبالتالي إمكانية إجراء التنبؤات لتلك البيانات، أو عزلها وتبويبها إلى أشكال وأنماط مختلفة ومن دون الحاجة إلى أي أنموذج مسبق يصف طبيعة العلاقات بين تلك البيانات وما يمكن أن تتضمنه هذه البيانات، كما هو الحال في الطرائق الاعتيادية المعروفة والمستخدمة في حساب التنبؤات.

وبصيغة أكثر حداثة، فقد دُرست الشبكات العصبية الاصطناعية كأسلوب مقابل إلى أساليب النماذج غير الخطية، بمعنى أن التحليل يعتمد على البيانات المتوفرة مع قليل من العلاقات الأولية حول العلاقات بين المتغيرات وحول النماذج، إذ أن عملية بناء أو إنشاء العلاقات بين متغيرات الإدخال والإخراج تُعنون بخوارزميات التعلم متعدد الأغراض العلاقات بين نماذج certain-general-purpose 'Learning' algorithms lلشبكات العصبية الإصطناعية جاءت من الاختلاف في النظريات التي تُقسر كيفية خزن المعلومات والتعلم الذي تقوم به الشبكة العصبية البيولوجية، ومن أبرز هذه النظريات نظرية والتعلم والذاكرة (Donald Hebb) عام (1949)، إذ تنص هذه النظرية على أن عملية التعلم والذاكرة (Learning & Memory) عملية التعفير المتكرر (repeated stimulation) لبعض العقد الفعالة العصبية يؤدي إلى حدوث زيادة في قوة الارتباط العصبي بين هذه العقد، وهذه العملية تؤدي إلى خزن (Encoding) التغيرات في قوة الارتباط العصبي بين العقد الفعالة في الشبكة العصبية أوزان وهذا هو معنى التعلم في الشبكة العصبية بين العقد الفعالة أو زان وهذا هو معنى التعلم في الشبكة العصبية من البدائل الإحصائية في عملية تحليل البيانات بالمزايا والعيوب التالية:

- بمجرد أن تقوم الشبكة بتلقي البيانات فأن أدائها لا يتأثر كثيراً عند إدخال أي مجموعة إضافية من البيانات الجديدة والتي لم تكن موجودة في البداية.
- لا تتطلب وجود افتراضات قوية بشأن نوعية البيانات والعلاقة بين المتغيرات كما في الأساليب الإحصائية الأخرى، كما تتطلب توافر عدد كبير من البيانات التجريبية.
- ليس هناك حاجة لترتيب المتغيرات حسب أهميتها، وذلك إذ أن الشبكة تضع تلقائياً أوزان خاصة بها حسب طبيعة البيانات المدخلة إليها
- تعطى قرارات واضحة في النماذج المعروفة، كما يمكنها معالجة مشكلات اتخاذ القرارات والتي تتصف بمدخلات غير واضحة وعشوائية.

ويعاب عليها أنها لا تتعامل مع المشاكل ذات المتغيرات التي لا يمكن صياغتها كمياً، كما تعطي نتائج في بعض الحالات قد لا نستطيع تقديم تفسيراً منطقياً لها. (Charu C. Aggarwal, 2018)

ب الخلية العصبية الحيوية: يتميز جسم الأنسان بقدرة عالية على استقبال ومعالجة وارسال الإشارات من خلال المسارات العصبية في الجهاز العصبي، فالخلية العصبية العضوية تتألف من ثلاثة اقسام حيث تتلقى الخلية العصبية الإشارات من الخلايا الأخرى، وتلك الإشارات تعدل من قيمة الإشارات القادمة ثم تجمع النواة الإشارات القادمة، أي يكون الجهد الناتج عن جمع تلك الإشارات اكبر من حد معين فتسمى عتبة التفعيل أو الحالة الحدية ويتم نقل الإشارة عبر النهايات العصبية ثم تنتشر الى الخلايا العصبية الأخرى المتصلة، وأن الخلية العصبية الحيوية تمثل البناء الأساسي للشبكة العصبية الاصطناعية، أن الخلية العصبية البيولوجية تتكون من جسم الخلية (Cell Body) وهو

جسم غير منتظم يحتوى على النواة للخلية، التفرعات أو المداخل (Dendrites) وهي عبارة عن اذرع تربط الخلية العصبية بالخلايا المتجاورة وتنقل الإشارات الداخلة الى كل خلية مع الخلايا الأخرى المرتبطة بها، المحور العصبي أو المخرج (Axon) وهو عبارة عن ذراع حيث يقوم بنقل الإشارة الخارجة من الخلية الى الخلايا الأخرى ولذلك كانت هناك محاولات للوصول الى اقرب نقطة لكفاءة الأنسان من خلال تقليد ولو بشكل بسيط هيكلة الدماغ البشري باستخدام الشبكات العصبية الاصطناعية (Artificial Neural Networks) والتي تقوم بحل المشاكل دون الحاجة الى وجود خوارزمية حل مما يؤدى الى تقليل كمية البرمجيات وبالتالى تقليل الوقت والكلفة. اما الشبكة العصبية الاصطناعية (Artificial Neural Network)، تُعرف الشبكة العصبية الاصطناعية (ANN) على أنها نظام حسابي مكون من عدد من وحدات المعالجة (Processing Elements) المترابطة مع بعضها وتتصف بطبيعتها الديناميكية والمتوازية في معالجة البيانات الداخلة اليها، أن هدف عمل الشبكات العصبية الاصطناعية هو للوصول الي أنموذج لهذه البيانات لغرض التحليل أو التصنيف أو التنبؤ أو أي معالجة اخرى دون الحاجة الى أنموذج مقترح لهذه البيانات وبذلك أن الشبكات العصبية الاصطناعية هي تقنيات حسابية مصممة لمحاكاة الطريقة التي يؤدي بها الدماغ البشري مهمة معينة وذلك عن طريق معالجة ضخمة موزعة على التوازي ومكونة من وحدات معالجة بسيطة، هذه الوحدات ما هي الا عناصر حسابية تسمى عصبونات أو عقد (Nodes, Neurons) والتي لها خاصية عصبية، والتي تقوم بتخزين المعرفة العملية والمعلومات التجريبية لتجعلها متاحة للمستخدم وذلك عن طريق ضبط الأوزان.(Yoav Goldberg, Graeme Hirst, 2017)الأوزان

ج. دالة المجمع Sum function: تحدد طريقة وصيغة ادخال المعلومات الى الشبكة العصبية والتي تعرف بالمدخلات وغالباً ما تكون عبارة عن تركيبة خطية (Linear combination) بدلالة الأوزان وتوصف:

$$input = b + \sum_{j=1}^{R} w_j y_j \dots (7)$$

حيث أن b الحد المطلق (bias)، w_j الأوزان المرتبطة بالمدخلات وهي تقابل المعلمات في أن v_j الأدخال. (Yoav Goldberg, Graeme Hirst , 2017)

- د. دوال الفاعلية Activation Function: تعرف بدالة التحويل (Transfer Function) لأنها تقوم بتحويل المدخلات عبر تفاعلها مع الأوزان من صيغة الى اخرى وتكون منها الخطية وغير الخطية ومنها الدوال الشائعة الاستخدام هي: (Charu C. Aggarwal, 2018)
- ا. الدالة اللوجستية Log-Sigmoid Function: تعد هذه الدالة الأكثر استخداماً عند عقد الطبقة المخفية للشبكة التي مدخلاتها ذات قيم حقيقية بين (∞,∞) أما مخرجاتها لكل عقدة تكون بين (0,1) والصيغة الرياضية لها هي:

$$f(x) = \frac{1}{1 + exp(-x)} \dots (8)$$

ومشتقتها

$$f'(x) = f(x)[1-f(x)]$$
(9)

الاتي: Hyper Bolic Tangent Function وتكتب بالشكل الاتي: $f(x) = \tan h(x)$(10)

ومشتقتها هي

$$f' = \sec h^2(x) = 1 - \tan h^2(x) = (1 - f^2(x))....(11)$$

ت. دالة الجيب أو الجيب تمام The Sine or Cosine Function: وتكتب بالصيغة الأتية: $f(x) = \cos(x)$ or $f(x) = \sin(x)$ (12)

ومشتقتها هي

$$f'(x) = -\sin(x)$$
 or $f'(x) = \cos(x)$ (13)

٤. الدالة الثنائية (binary function) وتأخذ الصيغة الاحصائية التالية:

$$f(x) = \begin{cases} 1 & \text{if } x > 0 \\ -1 & \text{if } x < 0 \end{cases}$$

ويمكن توحيد دالة التنشيط المستعملة لعقد الطبقة المخفية في الشبكة أو استعمال دوال مختلفة لكل عقدة فلا يوجد تحديد لنوعية هذه الدوال ولكن أكثر الدوال استعمالاً في عقد الطبقة المخفية هي الدالة اللوجستية.

أما في عقدة طبقة الاخراج فانه لا يوجد تحديد لدالة التنشيط المستعملة فقد تكون الدالة خطية أو غير خطية فإذا تضمن التدريب على التنبؤ فأن الدالة تكون خطية أما إذا تضمنت عملية التدريب على تصنيف البيانات فأن دالة الاخراج تكون غير خطية.

- ه. تهيئة البيانات: هي عملية تهيئة البيانات قبل معالجتها (Pre-Processing) لاستخدامها في عملية تدريب الشبكة العصبية لذلك فان مجال هذه البيانات لابد أن يكون ضمن نطاق دالة التنشيط الحسابية، وتوجد عدة طرق للتهيئة هي: (Yoav Goldberg, Graeme Hirst, 2017)
- 1. الصيغة المبسطة Simple Formula: تعتمد هذه الصيغة على أكبر قيمة في البيانات وتأخذ الصيغة التالية:

$$X_{new} = \frac{x}{x_{max}} \dots (14)$$

Y. الصيغة الطبيعية Normalized Formula: تستخدم هذه الصيغة عندما تكون دالة التنشيط في عقدة الاخراج هي الدالة اللوجستية وتعتمد على اقل و أكبر القيم وتوصف بالعلاقة الأتية:

$$X_{new} = \frac{x - x_{min}}{x_{max} - x_{min}} \dots (15)$$

7. الصيغة القياسية Standardized Formula: تستخدم هذه الصيغة عندما تكون دالة التنشيط في عقدة الاخراج هي الدالة الخطية وحسب الصيغة الأتية:

$$X_{new} = \frac{x - \bar{x}}{s} \dots (16)$$

وتوجد صيغ اخرى منها الصيغة الطبيعية المعدلة Adjusted Normalize Formula: تتكون هذه و. الشبكات العصبية المتعددة الطبقات Multi-layered neural networks: تتكون هذه الشبكات من طبقة واحدة أو اكثر من الطبقات المخفية (Hidden Layer) التي بدورها تحتوي على عدد من العقد المخفية (Hidden Nodes)، كما أن للإنسان وحدات إدخال توصله بالعالم الخارجي وهي حواسه الخمس، فكذلك الشبكات العصبية تحتاج لوحدات إدخال، ووحدات معالجة

يتم فيها عمليات حسابية تضبط الأوزان ونحصل من خلالها على ردة الفعل المناسبة لكل مدخل من المدخلات للشبكة، وتتميز هذه الشبكات بقدرتها على حل مسائل أكثر تعقيدًا من المسائل التي يمكن حلها في الشبكات ذات الطبقة المفردة بسبب وجود الطبقات الوسطية التي تعطي مرونة أكثر في بناء الدوال الناقلة بين المدخلات والمخرجات، وعلى الرغم من أن تدريب هذه الشبكات يستغرق وقتًا أطول لكن التدريب لهذه الشبكات ناجح أكثر من غيره، ونود أن نشير انه عندما تكون وحدات الإدخال متغيرات توضيحية $(x_p, ..., x_1)$ فان أنموذج الشبكات العصبية سيكون مشابه الى أنموذج الانحدار المتعدد غير الخطي (Non-Linear Multiple Regression Model) الذي يكتب بالشكل الاتى: (R. Cole, Matt, 2018)

$$y_t = f(x_1, ..., x_p) + e_t(17)$$

وعندما تكون وحدات الادخال تمثل إزاحات (Lags) المتغير المعتمد وهي وعندما تكون وحدات الادخال تمثل إزاحات (y_{t-p}, \dots, y_{t-1}) فإن أنموذج الشبكة سيكون مشابه الى أنموذج الانحدار الذاتي غير الخطي Non-Linear- Autoregressive Model والذي يكتب بالصيغة الأتية:

$$y_t = f(y_{t-1}, ..., y_{t-p}) + e_t(18)$$

المستوى المخفي Hidden Level: يمثل المستوى الثاني للشبكة العصبية والذي يلي المستوى الأول (مستوى المدخلات) وقد يحتوي على عدد من العقد المخفية (Hidden Nodes) ولكل عقدة وزن يربطها مع المستوى السابق (مستوى المدخلات) ووزن يربطها مع المستوى اللاحق (مستوى المخرجات) كما هو الحال في الشبكات العصبية ذات الطبقة المخفية الواحدة (Single-Layer Network).

مستوى المخرجات المستوى الأخير في الشبكة العصبية الاصطناعية الذي هو عبارة عن مخرجات الشبكة العصبية ويمكن أن يكون للناتج عقدة واحدة أو اكثر، وترتبط هذه المستويات الثلاثة بعدد من العقد (Nodes) والتي تمثل نقاط الارتباط (التشابك) العصبي بين مستويات الشبكة العصبية ويكون عملها بأن تستلم المدخلات من المستوى الأعلى منها وتنشر المخرجات الى المستوى الأدنى عن طريق الأوزان (Weights) وأن هذه الأوزان توضح مدى قوة الارتباط العصبي بين المستويات إذ أن لكل عقدة مخفية وزن يربطها مع المستوى السابق ووزن يربطها مع المستوى اللاحق، وعليه فأن الشبكة العصبية بشكل عام تحتوي على ثلاثة طبقات من الأوزان وهي: (R. Cole, Matt, 2018)

- طبقة أوزان مستوى المدخلات والمستوى المخفي (Input to Hidden Weights): حيث نرمز لها أما بالرمز (w_{ij}) إذ أن (i) يرمز الى عقد الادخال (i) (i) و (i) يمثل عدد العقد المخفية، أو نرمز لها (w_{ij}) إذ أن (i) تمثل العقد المخفية.
- طبقة أوزان بين المستويات المخفية (Between Hidden Weights): وتظهر هذه الأوزان فقط في حالة الشبكات العصبية المتعددة الطبقات إذ أن لكل طبقة مخفية عدد من الأوزان.
- طبقة أوزان المستوى المخفي ومستوى المخرجات (Hidden to Output Weights): ويرمز لها بالرمز (w_i) أو (w_{ho}) إذ أن (v_h) يمثل الناتج (output).
- ز. نموذج الشبكة العصبية: وبشكل عام فان أي أنموذج للشبكات العصبية بطبقة مخفية واحدة وبعدد عقد مخفية (r) وعدد عقد الادخال (p) يمكن أن يكتب بالشكل الاتي: (Yoav Goldberg, Graeme Hirst, 2017)

$$\hat{y}_t = \varphi_0 \left\{ w_o + \sum_{j=1}^r w_j * f \left(w_{1j} + \sum_{i=1}^p w_{ij} y_t \right) \right\} \dots (19)$$

$$\downarrow \hat{y}_t = \varphi_0 \left\{ w_o + \sum_{j=1}^r w_j * f \left(w_{1j} + \sum_{i=1}^p w_{ij} y_t \right) \right\} \dots (19)$$

عدد العقد المخفية، p عدد عقد الأدخال، w_{1j} تمثل الأوزان التي تربط الثابت وبين العقد المخفية المخفية، w_0 الوزن الذي يربط الثابت مع الناتج، w_j الأوزان التي تربط بين العقد المخفية والناتج، w_j الأوزان التي تربط بين عقد المدخلات والعقد المخفية، w_0 دالة التنشيط (التفعيل في مستوى المخرجات)، w_t دالة التنشيط (التفعيل في مستوى الخفي)، w_t تمثل متغيرات الادخال. (R. Cole, Matt, 2018)

- ح. خوارزميات التعلم في الشبكات العصبية الاصطناعية: تهدف خوارزميات التعلم في الشبكات العصبية الاصطناعية المرجحة من خلال تدريب الشبكة بإحدى الطرق العصبية الاصطناعية إلى تحديد قيمة الأوزان المرجحة من خلال تدريب الشبكة بإحدى الطرق الثلاثة الأتية (Yoav Goldberg, Graeme Hirst, 2017)
- ا. التعلم المراقب (Supervised Learning): يعتمد التعلم المراقب للشبكات العصبية الاصطناعية على فكرة عرض البيانات التدريبية أمام الشبكة على هيئة زوج من الأنماط يسمى نمط الادخال (Input Pattern)، ونمط الاخراج (Output Pattern)، وكلاً منهما مرتبط بمتجه مخرجات مستهدف (Target Output Vector)، وتستخدم الشبكة الفرق بين مخرجات الشبكة والمخرجات الحقيقية في حساب دالة الخطأ (δ) (Delta Function)، التي تستخدمها بعد ذلك في تعديل الاوزان لتقليل الفرق بين المخرجات للشبكة والمخرجات الحقيقية، ويتم تعديل الاوزان لا يجاد أفضل النتائج وذلك باستخدام دالة تحديث الأوزان أو دالة التعلم (Learning Function).
- ٢. التعلم غير المراقب (Unsupervised Learning): تقوم أساليب التعلم الذاتي للشبكات العصبية الاصطناعية على أساس قدرتها على اكتشاف الملامح المميزة لهيكل المدخلات من خلال مجموعة من البيانات يتم تعميمها على باقي المخرجات، وذلك من دون معرفة مسبقة ومن دون عرض أمثلة لما يجب أن تنتجه، وذلك على عكس المبدأ المتبع في أسلوب التعلم المراقب بمعنى أن للشبكات العصبية القدرة على التنظيم الذاتي لأوزان ترابطاتها.
- ٣. التعلم بإعادة التدعيم (Reinforcement Learning): تقوم عملية التدعيم على أساس الخلط بين طريقة التعلم المراقب والتعلم غير المراقب، حيث لا يفصح للشبكة العصبية عن القيم الحقيقية للمخرجات كما هو الحال في التعلم غير المراقب، ولكن يشار إلى الشبكة بصحة نتائجها أو خطئها كما في طريقة التعلم المراقب.
- ط. خوارزمية الانتشار العكسي للخطأ: أن منهجية الانتشار العكسي (EBP) للخطأ طورت في عام 1970 من قبل عدة علماء إذ أن الخطوات الأساسية فيها هو حساب خطأ مستوى المخرجات لتحديث أوزان طبقة المستوى المخفي-المخرجات، ثم حساب خطأ مستوى المخفي لتحديث أوزان طبقة مستوى المدخلات-المخفي، وبعد ذلك نحسب مخرجات الشبكة بالأوزان الجديدة لتستمر العملية في حساب الخطأ وتحديث الأوزان للوصول الى اقل خطأ في الشبكة العصبية.
- إن خوارزمية الانتشار العكسي تستخدم في تدريب الشبكات العصبية كاملة الارتباط ومتعددة الطبقات وغير الخطية، ويتم تنفيذ هذه الخوارزمية من خلال ثلاث مراحل وكالاتي: (مرحلة الانتشار الأمامي للخطأ، مرحلة الانتشار الخلفي للخطأ، ثم مرحلة توليف أوزان الشبكة). تبدأ العملية بحساب قيمة الناتج (output) بموجب أنموذج الشبكات العصبية ذات الطبقة المخفية

الواحدة بالاعتماد على القيم الابتدائية للأوزان وعلى المدخلات من دون أضافة الخطأ، ثم يتم أيجاد الخطأ بين المخرج المطلوب والمخرج الفعلي وترجع بهذا الخطأ عكسيًا من الطبقة الأخيرة الى الطبقة الخلفية ثم اخيراً الى طبقة المدخلات، وفي اثناء الرجوع (الارتداد) يتم تغير الأوزان في الاتجاه الذي يرجع الخطأ الى النقصان واحيانًا الى الصفر وهذه مرحلة الانتشار الخلفي للخطأ، وتستعمل هذه الطريقة التدريبية مع الشبكات ذات التغذية الأمامية إذ أن التغذية الأمامية يرجع الى بنية الشبكة أما أنتشار الخطأ العكسي فيرجع الى طريقة التدريب التي تستعمل مع هذه الشبكة.

وكما هو معلوم أن الشبكة لها ثلاث مستويات وعدد عقد الادخال هي (i) وعدد العقد في الطبقة المخفية هي (i) وعدد عقد الاخراج هي (k)

- تبدأ هذه الخطوة عند طبقة المخرجات وفيها نحدد مجموع الاشارات التي تدخل على كل من خلاياه وكما مبين ادناه:

$$N_k = \sum w_{ik} o_i \dots \dots (20)$$

بعد مرور هذه القيمة على الخلية والممثلة في الدالة التنشيطية اللوجستية يكون المخرج وحسب المعادلة الأتنة·

$$O_k = \frac{1}{1 + \exp(-N_k)} = f(N_k) \dots (21)$$

يتم تحديد مقدار الخطأ العشوائي δ_k الذي يمكن الحصول عليه من اشتقاق متوسط مربعات الخطأ بالنسبة الى الناتج O_K إذ أن:

$$\delta_k = (t_k - O_k) * f'(N_k) = (t_k - O_k) * O_k (1 - O_k) \dots (22)$$
 وبالحصول على هذه القيمة يمكن أن نصحح كل الأوزان التي تربط الطبقة الخفية بطبقة المخرجات وبالسرعة المطلوبة حسب نسبة التعلم η حسب الصيغة الأتية:

$$w_{jk(new)} = w_{jk(old)} + \eta \, \delta_k O_j.....(23)$$

حيث ان δ_k يمثل مقدار الخطأ العشوائي ويعرف:

$$\delta_k = (t_k - O_k) * f'(N_k)$$

ويتم تطبيق هذه الخطوات على كل المدخلات المعدّة للتدريب ولمرات عديدة حتى تصل الشبكة إلى أقل نسبة خطأ ممكنة ولتصبح الشبكة جاهزة للاستعمال. (Charu C. Aggarwal, 2018) ي. مراحل التنبؤ بواسطة الشبكات العصبية الاصطناعية

- تحديد المتغيرات، جمع البيانات، معالجة البيانات.
- تجزئة البيانات: في الخلية العصبية الاصطناعية تجزأ البيانات الى ثلاث مجاميع لاستعمالها في التحليل والتنبؤ وكما يلي: (Yoav Goldberg, Graeme Hirst, 2017)
- 1. مجموعة التدريب أو التعلم: وهي مجموعة جزئية من بيانات السلسلة الزمنية إذ تستعمل هذه المجموعة في تقدير الأوزان الاولية بنسبة اولية وأن النسبة التي يتم اختيارها في مجموعة التعلم يجب أن تكون بحجم معين لتعطي مواصفات ومميزات للمتغيرات لتدريب الشبكة والتي تستخدم لتقدير الأوزان وتدريب الشبكة على التنبؤ.
- ٢. مجموعة الاختبار: وهي جزء من بيانات السلسلة الزمنية ولعينة لم تستعمل في التدريب حيث تقوم باختبار قابلية الشبكة على التنبؤ بعد عملية التعليم، بعض البرمجيات تحدد 70% للتعلم و30% للاختبار.

- ٣. مجموعة التقويم: تقوم بمر اقبة نهائية لتقويم إداء تدريب الشبكة العصبية بصورة عامة.
- * تحديد معمارية الشبكة العصبية: لتحديد هيكلية الشبكة العصبية إذ يتطلب من مصمم الشبكة مهارة عالية وخبرة تجريبية في تحديد الخطوات الأتية: (Yoav Goldberg, Graeme Hirst, 2017)
- ١. تحديد عدد عقد الادخال: أن المتغيرات في أنموذج السلسلة الزمنية تكون بدلالة المتغيرات المزاحة أي أن:

$$Y_{t} = f(Y_{t-1}, Y_{t-2},, Y_{t-n})$$

إن تحديد هذه المتغيرات تمثل مشكلة كبيرة تواجه مصمم الشبكة العصبية وقد اقترحت عدة طرق منها: الطريقة التي تعتمد على معاملات الارتباط الذاتي المعنوية للسلسلة الزمنية المستقرة.

او الطريقة التي تعتمد على السلوب تجميع البيانات فإذا كانت شهرية فان عدد عقد الادخال هي: P=4 ، وإذا كانت فصلية فأن P=4 .

- ٢. تحديد عدد الطبقات المخفية: في اغلب تطبيقات التنبؤ باستخدام الشبكات العصبية المتعددة الطبقات
 يفضل استخدام طبقة مخفية و احدة.
- 7. تحديد عدد العقد في الطبقة المخفية: تواجه مصمم الشبكة العصبية مشكلة اخرى الا وهي تحديد عدد العقد في الطبقة المخفية، أن عدد العقد المخفية للشبكة العصبية يحدد من قبل المستخدم وللبدء بتدريب الشبكة العصبية لا بد من اعطاء تقدير أولي لعدد العقد المخفية. أن بعض الباحثين يختارها بعدد المتغيرات المزاحة زمنياً أي بعدد عقد الادخال في حين البعض الأخر يعتمد على مقياس معرد المراحة وجود طرق اخرى.

ث تحديد عقد الإخراج:

- اختيار دوال التنشيط: غالبية الشبكات العصبية الحالية تستخدم الدالة اللوجستية في الطبقة المخفية والدالة الخطية عند طبقة المخرجات.
- تدريب الشبكة العصبية: أن عملية تدريب الشبكات العصبية على التنبؤ تتم من خلال تعديل أوزان الشبكة للحصول على أقل خطأ بالاعتماد على خوارزمية الانتشار الخلفي (BP)، وأن الهدف من التدريب هو العثور على مجموعة من الأوزان بين الخلايا العصبية التي تحدد الحد الأدنى لدالة الخطأ ومن أهم خطوات تدريب الشبكة هي: (R. Cole, Matt ,2018)
- ا. تحديد قيم الأوزان الأولية: وتُعد نقطة البداية لعملية التدريب وغالباً ما يتم اختيار قيم عشوائية صغيرة للأوزان والحد المطلق تقع ما بين (1,-1).
- ٢. عدد تكرارات التدريب: توقف عملية تدريب الشبكة العصبية وذلك من خلال تقليل خطأ مجموعة التقييم أي الوصول إلى خطأ مسموح به وبذلك تنتهي عملية التدريب، او ان تتم إيقاف التدريب بعد تقييم عدد محدد مسبقا من التكرارات.
- ٣. معدل التعلم (η) وعامل الزخم (α): يعتبر معدل التعلم (η) من العوامل المؤثرة على عملية سرعة تحديث الأوزان في الشبكة العصبية ، ويتم تدريب الشبكة باستخدام خوارزمية الانتشار الخلفي التي تعتمد على تقليل مجموع مربعات الأخطاء والمعرفة بالمعادلة الأتية :

$$E = \frac{1}{2} \sum_{h}^{M} E_{h} = \frac{1}{2} \sum_{h}^{M} \sum_{i}^{N} (t_{hi} - O_{hi})^{2} \dots (24)$$

حيث ان: E: الخطأ الكلي لجميع العقد. E_h : يمثل الخطأ للعقدة h: تشير الى مستوى مجموع

المدخلات، t_{hi} : تمثل مخرجات الحقيقية، O_{hi} : تمثل مخرجات الشبكة.

ان حجم الشبكة يؤثر على عملية التعلم حيث ان الشبكة الكبيرة تحتاج الى وقت أكبر للتعلم والوصول الى اقل خطأ، ويتأثر بمعدل التعلم (η) ومعامل الزخم (α) فكلما كانت عملية التعلم بطيئة نعطي قيمة أكبر الى (η) والتي تؤدي الى تغيير الوزن اي تحديثه يكون كبير مع انخفاض التكرارات لعملية التدريب للحصول على خطأ مقبول.

أما بالنسبة الى عامل الزخم (α) يختار بحيث يجعل عملية التعلم ومقدار التغير في الوزن مستقر نسبياً واجمالاً يعمل على تقليل التكرارات للوصول الى اقل خطأ، فالقيمة الكبيرة لها ستؤدي الى زيادة سرعة التعلم وتؤخذ بنظر الاعتبار عندما تكون عملية الوصول الى اقل خطأ بطيئة، ويكون مداه بين الصفر والواحد ($\alpha < 1$).

- التنفيذ: وهي من أهم المراحل حيث تختبر الشبكة من حيث قدرة التكيف مع حالة التغير في الدورة وامكانية أعادة التدريب والوصول الى أقل مربع خطأ عند تغير البيانات، ويتم بناء الشبكات العصبية عن طريق البرمجة (أي أن الشبكة العصبونية هي عبارة عن برنامج حاسوبي) ويتكون من عدد كبير من الدورات التي يزيد استعمالها لحل مشكلة معينة. (R. Cole, Matt, 2018)

٤. الجانب التطبيقي:

تم الاعتماد على البيانات الخاصة بانتاج التمور في العراق للفترة ١٩٦٣-٢٠١٨ والتي جمعت من البيانات الاحصائية الخاصة بالانتاج الزراعي في الجهاز المركزي للاحصاء وقد وضحت في الجدول (١) وذلك لاهمية النخلة التي تعد رمز العراق.

۲۰۱۸ - ۱۹۲۳ ة	العراق للفتر	التمور في	١): انتاج	الجدول (
---------------	--------------	-----------	-----------	----------

المجموع	السنة	المجموع	السنة
566218	1991	420000	1963
447837	1992	320000	1964
612580	1993	310000	1965
675820	1994	280000	1966
881020	1995	380000	1967
797450	1996	330000	1968
750140	1997	260000	1969
913020	1998	480000	1970
763720	1999	300000	1971
931540	2000	450000	1972
906790	2001	310000	1973
919470	2002	385000	1974
868390	2003	°97190	1975
448380	2004	371980	1976
404030	2005	578310	1977

المجموع	السنة	المجموع	السنة
432360	2006	389030	1978
430860	2007	519170	1979
476320	2008	596920	1980
507002	2009	370180	1981
566829	2010	373750	1982
619182	2011	345290	1983
655450	2012	251440	1984
676111	2013	390230	1985
662447	2014	434210	1986
602348	2015	323540	1987
615211	2016	356330	1988
618818	2017	488390	1989
646163	2018	544931	1990

حيث تم الاعتماد على بناء النماذج التالية:

أ. نموذج الانحدار الخطي البسيط من علاقته بالسنوات والذي بين ان هناك تزايد في الانتاج بمقدار معلمة الميل المقدرة والتي بلغت ٦٦٨١,٤٦٤ بالاضافة الى معنوية النموذج والمعالم المقدرة مع ارتفاع مجموع اخطاء النموذج وانخفاض معامل التحديد.

الجدول (٢): يبين نتائج نموذج الانحدار الخطي البسيط

Dependent Variable: DATPRO

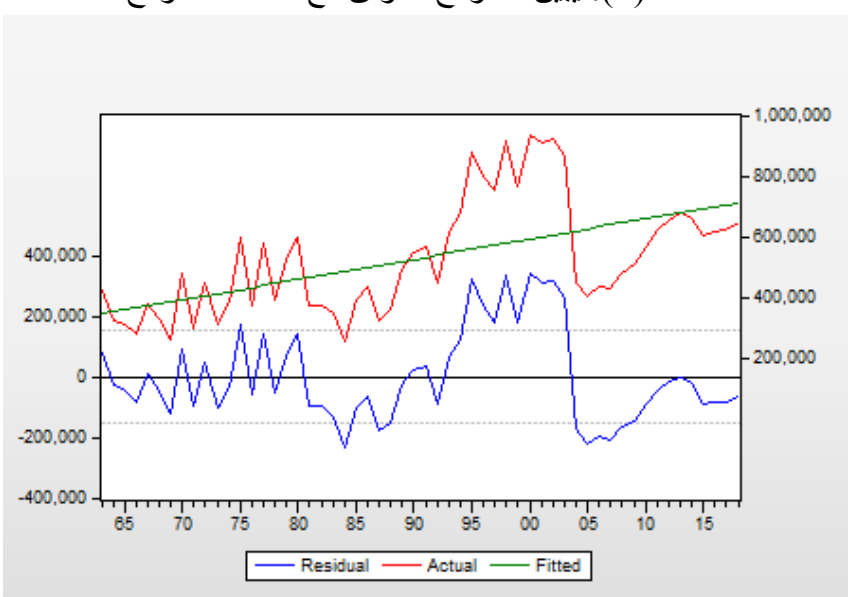
Method: Least Squares

Date: 09/27/19 Time: 19:10

Sample: 1963 2018

Included observations: 56

Variable	Coefficient	Std. Error	t-Statistic	Prob.
C YEAR	-12771751 6681.464	2548473. 1280.276	-5.011531 5.218769	0.0000 0.0000
R-squared Adjusted R-squared S.E. of regression Sum squared resid Log likelihood F-statistic Prob(F-statistic)	0.335266 0.322957 154855.2 1.29E+12 -747.6560 27.23555 0.000003	Mean dependent var S.D. dependent var Akaike info criterion Schwarz criterion Hannan-Quinn criter. Durbin-Watson stat		527703.5 188199.1 26.77343 26.84576 26.80147 0.650198



الشكل (١): يبين النموذج الموفق مع اخطاء النموذج

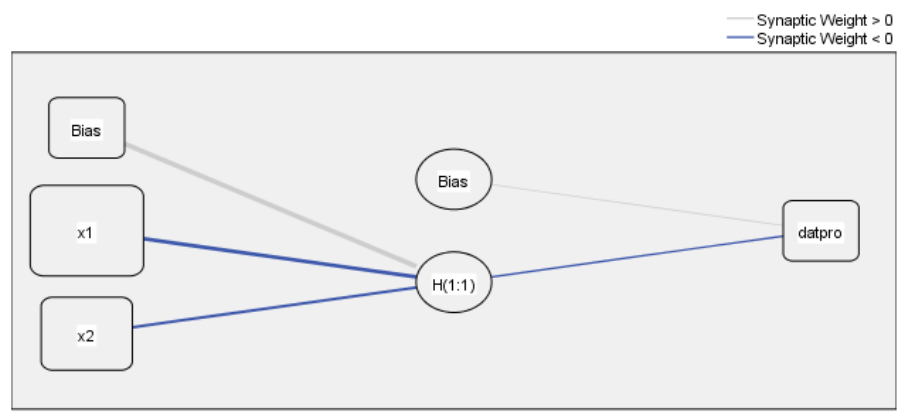
ب. نموذج الانحدار الذاتي والمتوسطات المتحركة حيث تم بناء مجموعة من النماذج بلغ عددها ٢٠ نموذج بعد حساب معاملات الارتباط الذاتي والارتباط الذاتي الجزئي مع اختبار استقرارية السلسلة الزمنية حيث تم تحقيق الاستقرارية في التباين من خلال التحويل اللوغارتمي ثم الفرق الاول لتحقيق الاستقرارية في المتوسط وكان افضل نموذج من حيث المقاييس النموذج المحقيق الاستقرارية وضحت نتائجه في الجدول التالي حيث نلاحظ انخفاض الاخطاء مقارنة مقارنة بالنموذج الخطي .

الجدول (٣): يبين نتائج نموذج الانحدار الذاتي والمتوسطات المتحركة

Dependent Variable: DLOG(DATPRO) Method: ARMA Maximum Likelihood (BFGS) Date: 09/27/19 Time: 18:41 Sample: 1964 2018 Included observations: 55 Convergence achieved after 19 iterations Coefficient covariance computed using outer product of gradients Variable Coefficient Std. Error Prob. C 0.009638 0.021181 0.455040 0.6511 AR(1) -1.2924710.156295 -8.269439 0.0000 AR(2) -0.526703 0.120226 -4.380955 0.0001 0.0000 MA(1) 0.882240 0.128949 6.841772 SIGMASQ 0.047177 0.009700 4.863392 0.0000 0.007833 R-squared 0.295391 Mean dependent var Adjusted R-squared 0.239022 S.D. dependent var 0.261141 0.227804 -0.019667 S.E. of regression Akaike info criterion Sum squared resid 2.594736 Schwarz criterion 0.162818 Log likelihood 5.540844 Hannan-Quinn criter. 0.050901 F-statistic 5 240335 Durbin-Watson stat 1.866734 Prob(F-statistic) 0.001325 Inverted AR Roots -.65-.33i -.65+.33i Inverted MA Roots

ج. نموذج الشبكة العصبية: تم بناء نموذج الشبكات العصبية لمتغير كمية انتاج التمور وبمرحلة تدريب بلغت (70%) من البيانات ومرحلة اختبار (30%)، وبطبقة مخفية واحدة مكونة من عقد واحدة

بعد تحويل البيانات الى الصيغة القياسية وبدالة تحويل (hayperbdic tangent) للعقد في الطبقة المخفية ودالة اخراج (identey) لنتائج المخرج النهائي ، وكانت النتائج موصوفة بالشكل التالي لافضل شبكة مقدرة.



Hidden layer activation function: Hyperbolic tangent
Output layer activation function: Identity

وبمصفوفة الاوزان التالية ما بين طبقة الادخال والطبقة المخفية بعقد واحدة:

Parameter Estimates

Predicted Hidden Layer Output Layer H(1:1) datpro Predictor Input Layer (Bias) 2.138 -1.978x1 х2 -1.481-Hidden Layer 1 (Bias) .668 H(1:1) -1.452-

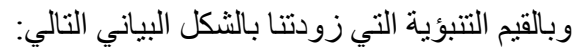
و بمقابيس الكفاءة التالية الخاصة لمرحلة التدريب و الاختبار:

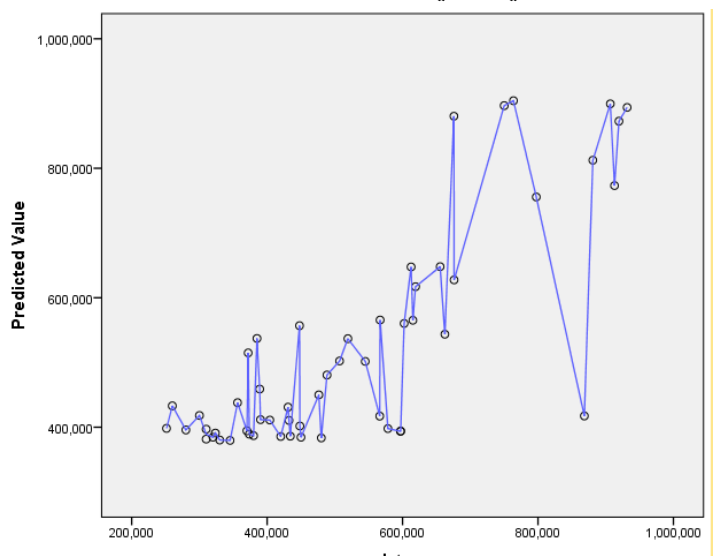
Model Summary

Training	Sum of Squares Error	1.694
	Relative Error	.395
	Stopping Rule Used	1 consecutive step(s) with no decrease in error ^a
	Training Time	0:00:00.00
Testing	Sum of Squares Error	1.057
	Relative Error	.189

Dependent Variable: datpro

Error computations are based on the testing sample.





د. مقارنة نموذج الانحدار الخطي ونموذج بوكس جينكز مع نموذج الشبكة العصبية: لأغراض المقارنة بين النماذج الثلاثة تم اعتماد المعيار الاحصائي (MSE) لاختيار النموذج المناسب للسلسلة الزمنية لإنتاج التمور، حيث تم اعتماد نموذج الشبكة العصبية لسلسلة انتاج التمور وكما موضح في الجدول الاتي:

الجدول (٤): المقارنة بين نموذج الانحدار الخطى وبوكس جينكز ونموذج الشبكة العصبية

_	••		` ′
النموذج	نموذج الانحدار	نموذج بوكس جينكز	نموذج الشبكة العصبية
MSE	$2.388889e^{10}$	0.0519	0.0207

من خلال ما تقدم يمكن القول بان اسلوب الشبكات العصبية أكثر ملائمة لتحليل بيانات السلسلة الزمنية من طريقة الانحدار الخطى وطريقة بوكس جينكز.

الاستنتاجات والتوصيات

أولاً. الاستنتاجات: ان نماذج الانحدار غير كفؤة كما ان بوكس جينكز تعاني من مشاكل متعددة منها عدم امكانية تحديد رتبة النموذج سواء كان الى نموذج الانحدار الذاتي او الى المتوسطات المتحركة لعدم مطابقة واقع البيانات مع السلوك النظري لهذه النماذج وهذا ما تم معاناته عند بناء النموذج. كما برهنت النتائج كفاءة اسلوب الشبكات العصبية الاصطناعية في معالجة النماذج غير الخطية، ان نماذج الشبكات العصبية الاصطناعية في الأغلب هي نماذج حصينة لأنها تتدرب على البيانات.

ثانياً. التوصيات: يمكن أيجاز اهم التوصيات التي تم التوصل اليها في ضوء الاستنتاجات، بما يلي: اعتماد أسلوب الشبكات العصبية الاصطناعية في البحوث والدراسات ذات الصلة بالسلاسل الزمنية. مع اعتماد الشبكات العصبية الاصطناعية في معالجة نماذج السلاسل الزمنية ذات الانماط المختلفة والمتنوعة والتي لا يتوزع فيها الخطأ وفقاً للتوزيع الطبيعي والتوصية في اعتماد الشبكات العصبية الاصطناعية في معالجة السلاسل الزمنية متعددة المتغيرات "Multivariate" ونماذج دالة التحويل الخطبة.

المصادر:

- 1. C.Tofallis, (2009), Least Squares Percentage Regression. Journal of Modern Applied Statistical Methods. **7**: 526-534.
- 2. Armstrong Analysis '2-J. Scott, (2012), Illusions in Regression. International Journal of Forecasting (forthcoming). 28 (3): 689.
- 3. Box, George 3- E.P and Jenkins, GwilymM .and Reinsel ,Gregory C., (2013), Time Series Analysis for casting and Control
- 4. Robert H. Shumway, (2017), Time Series Analysis and Its Applications: With R Examples (Springer Texts in Statistics), usa
- 5. Charu C. Aggarwal, (2018), Neural Networks and Deep Learning: A Textbook 1st ed. Edition, spinger, usa.
- 6. Yoav Goldberg, Graeme Hirst, (2017), Neural Network Methods in Natural Language Processing (Synthesis Lectures on Human Language Technologies).
- 7. R. Cole, Matt, (2018), Hands-On Neural Network Programming with C#: Add powerful neural network capabilities to your C# enterprise applications, packt, USA.